### 长链非编码 RNA HOTAIR 在胃癌组织中的表达 及其与预后相关性

王凤琴<sup>1</sup>,李洋<sup>2</sup>,罗艳丽<sup>1</sup>,徐秋兰<sup>1</sup>

(1. 沈阳市第二中医医院消化内科,辽宁 沈阳 110101;2. 辽宁中医药大学附属一院,辽宁 沈阳 110101)

摘要:目的 探讨胃癌中长链非编码 RNA HOTAIR 的表达及意义。方法 收集手术切除的胃癌及癌旁正常组织标本 60 例,采用逆转录聚合酶链反应 (RT-qPCR) 检测 HOTAIR 在胃癌组织与癌旁正常组织中的 mRNA 表达水平,并利用 Kaplan Meier-plotter数据库分析其与病人预后的相关性。结果 胃癌组织中 HOTAIR 的表达水平为(4.26 ± 1.47) 明显高于癌旁组织表达(0.47 ± 0.35),差异有统计学意义 (P < 0.001); HOTAIR 高表达组病人的预后不良。结论 HOTAIR 在胃癌中呈高表达并与胃癌病人的预后导负相关关系。

关键词:胃肿瘤;长链非编码 RNA;HOTAIR;预后

doi:10.3969/j.issn.1009 - 6469.2017.03.021

## Long non-coding RNA HOTAIR expression profile in gastric cancer and its relationship between patient prognosis

WANG Fengqing<sup>1</sup>, LI Yang<sup>2</sup>, LUO Yanli<sup>1</sup>, XU Qiulan<sup>1</sup>

(1. The Second Chinese Medicine Hospital in Shenyang, Shenyang, Liaoning 110101, China;

2. Liaoning University of Traditional Chinese Medicine Affiliated Hospital, Shenyang, Liaoning 110101, China)

**Abstract:Objective** To study the expression and clinical significances of long non-coding RNA HOTAIR in gastric cancer. **Methods** A total of 60 patients with gastric cancer who were surgically resected specimens of gastric cancer and adjacent tissues in gastric cancer tissues, evaluate the mRNA expression of HOTAIR by RT-qPCR, and further analyze the relationship between the mRNA expression of HOTAIR and patient prognosis by Meier-plotter database. **Results** HOTAIR expression level  $(4.26 \pm 1.47)$  was significantly higher (P < 0.001) than adjacent tissues in gastric cancer tissues  $(0.47 \pm 0.35)$ . High HOTAIR expression level group of patients has poor prognosis. **Conclusions** The expression level of HOTAIR in gastric cancer is significantly higher than the normal adjacent tissues and its expression level is closely related to the patient's prognosis.

Key words: Stomach neoplasms; Long non-coding RNA; HOTAIR; Prognosis

胃癌(Gastric cancer)发病率占我国消化道肿瘤第一位,死亡人数接近全部肿瘤死亡人数的25%,其来源于胃黏膜上皮细胞的恶变,严重影响人类健康[1]。在基因组中除了能够翻译产生蛋白质的RNA外,还普遍存在一类无开放阅读框的RNA,称为非编码RNA

(Non-coding RNAs,ncRNA),其中超过200 nt 为长链非编码 RNA(Long non-coding RNAs,LncRNA)<sup>[2]</sup>。研究发现,LncRNA广泛参与人类疾病特别是恶性肿瘤的发生发展过程,这说明 LncRNA 可以作为潜在的肿瘤治疗靶点<sup>[3]</sup>。HOTAIR编码序列长度约为

- [14] 张方毅,翁志梁,陈盛烨,等. 后腹腔镜嗜铬细胞瘤切除术与开放手术的初步探讨[J]. 温州医学院学报,2006,36(5):471-473. DOI:10.3969/j. issn. 1000 2138. 2006. 05. 020.
- [15] 张绍崎,蔡维奇. 后腹腔镜手术治疗肾上腺嗜铬细胞瘤的临床评价[J]. 现代泌尿外科杂志,2011,16(4):343-345. DOI:10. 3969/j. issn. 1009 8291. 2011. 04. 021.
- [16] 赵林飞,邱瑞香,张翠莲,等. 腹膜后腹腔镜肾上腺嗜铬细胞瘤 切除术与开放手术患者血压变化的对比研究[J]. 腹腔镜外科杂志,2011,16(4):308-310. DOI:10.3969/j. issn. 1009 6612. 2011.04.028.
- [17] GAGNER M, LACROIX A, BOLTE E. Laparoscopic adrenalectomy in Cushings syndrome and pheochromocytoma [J]. New Engl J Med, 1992, 327 (14):1033.
- 「18] 郑士平,王志勇,袁荫田,等. 腹膜后腹腔镜手术治疗肾上腺嗜铬细

- 胞瘤 16 例报告[J]. 腹腔镜外科杂志,2010,15(2):99-100.
- [19] SMITH CD, WEBER CJ, AMERSON R, et al. Laparoscopic adrenalectomy: new glod standard [J]. World J Surg, 1999, 23 (4): 389-396.
- [20] 蔡庆凯,田博宇,宋祥伟,等. 后腹腔镜下肾上腺肿瘤切除 74 例临床体会[J]. 中国医药导报,2009,6(5):156,160. DOI:10. 3969/j. issn. 1673 7210. 2009. 15. 105.
- [21] 陈春延. 腹腔镜技术治疗肾上腺嗜铬细胞瘤的进展[J]. 广西 医学,2009,31(8):1179-1182. DOI:10. 3969/j. issn. 0253 4304.2009.08.067.
- [22] 张国庆, 亓林, 陈运, 等. 传统 2D 腹腔镜与 3D 腹腔镜手术治疗肾上腺瘤的疗效比较 [J]. 安徽医药, 2015, 19(7):1334-1336. DOI:10.3969/j. issn. 1009 6469. 2015. 07. 032.

(收稿日期:2016-07-12,修回日期:2017-02-10)

2.2 kb,位于基因组 12q13 上 HOXC 位点,其可通过反式调控下游基因表达<sup>[4]</sup>。HOTAIR 在多种肿瘤如胰腺癌、膀胱癌、鼻咽癌、肺癌、前列腺癌等中表达异常升高说明其参与了肿瘤的发生发展<sup>[5-10]</sup>。根据不同消化道恶性肿瘤的死亡率进行统计后发现,胃癌居于死亡率前列,许多病人经过传统的手术及放化疗治疗后仍出现疾病进展或复发,因此新的治疗手段的开发对胃癌的诊断和治疗起到非常重要的作用<sup>[11]</sup>。本研究通过逆转录聚合酶链反应(RT-qPCR)的方法对胃癌与癌旁组织中 HOTAIR 的表达水平进行检测,并利用 Kaplan Meier-plotter 数据库初步分析其表达水平与胃癌病人的预后相关性进行分析,以期为胃癌病人的分子诊断、靶向治疗及预后预测提供理论依据。

#### 1 资料与方法

1.1 一般资料 45 例胃癌及癌旁组织取自 2013—2016 年就诊于辽宁省沈阳市第二中医医院的病人。 经病理证实为胃癌的病人的病理标本作为胃癌组织,并取同一标本距癌组织边缘 > 5 cm 且经 HE 染色证实无肿瘤细胞浸润、无明显细胞增生等病变的胃组织作为癌旁组织对照。其中男性 35 例,女性10 例,年龄 31~84 岁,平均年龄(58.0±6.3)岁,中位年龄 58 岁;45 例中均无术前应用化疗药物或靶向药物进行辅助治疗,病理确诊依据参照 WHO诊断标准。排除标准为:病人于术前接受过任何形式的放化疗或分子靶向治疗。手术切除后将标本转入液氮罐中保存,整个保存过程均参与无核酶试剂及耗材,抽提总 RNA 供 RT-qPCR 检测。参见表 1。

表 1 胃癌病人 45 例临床病理资料

• •				
临床病理特征	例数	百分比/%		
性别				
男	35	77.8		
女	10	22.2		
TNM 分期				
I期	5	11.1		
Ⅱ期	3	6.7		
Ⅲ期	12	26.7		
IV期	25	55.6		
分化程度				
高或中分化	28	62.2		
低分化	17	37.8		
	·	·		

1.2 试剂与仪器 NanoDrop2000 超微量分光光度

计,Eppendorf PCR 仪,ABI 7500 Real-time PCR 仪。RNAiso Plus 及 PrimeScript RT reagent Kit with gDNA Eraser (Perfect Real Time)购自 Takara 公司,Fast-Start Universal SYBR Green Master(ROX)购自 Roche 公司,HOTAIR 及 β-actin 引物购自生工生物工程有限公司,序列见表 2。

表 2 荧光定量引物表

引物名称	序列(5'-3')	
β-actin(forward)	CACCATTGGCAATGAGCGGTTC	
$\beta\text{-actin}(\mathrm{reverse})$	AGGTCTTTGCGGATGTCCACGT	
HOTAIR(forward)	CCAGAGAACGCTGGAAAAACCTG	
HOTAIR(reverse)	GGAGATGATAAGAAGAGCAAGGAA	

#### 1.3 实验方法

1.3.1 临床组织样本中 LncRNA HOTAIR 表达水 平检测 (1) Total RNA 提取:按照 RNAiso Plus 试 剂的操作手册进行,从-80 ℃冰箱中取出手术后的 胃癌及癌旁组织各 100 mg,加液氮研磨至粉末状, RNAiso Plus 抽提 Total RNA,用 NanoDrop2000 超微 量分光光度计检测其浓度及 OD260/OD280。(2) cDNA 反转录合成:按照逆转录试剂盒 PrimeScript RT reagent Kit with gDNA Eraser (Perfect Real Time) 的说明书进行,逆转录 RNA 总量 1 μg,反应总体系 20 μL,将产物 cDNA 取出后,无核酶水稀释至 500 μL 后保存备用。(3) RT-qPCR 检测 lncRNA HO-TAIR 的表达水平: 反应总体系 20 μL, 包括引物 5 μL,模版 5 μL, FastStart Universal SYBR Green Master(ROX) 10 μL。反应条件为:95 ℃ 5 min;95 ℃ 15 s,60 ℃ 20 s,72 ℃ 40 s, 40 cycles。每组样品均 设3个重复。(4) HOTAIR mRNA 相对表达量为非 正态分布资料, HOTAIR 的表达水平与临床病理特 征的关系采用 Fisher's 确切检验。P < 0.001 为差 异有统计学意义。

- 1.3.2 LncRNA HOTAIR 表达水平与病人预后相关性分析 利用 Kaplan Meier-plotter 胃癌数据库(http://kmplot.com/)中数据,分析低分化与中高分化胃癌中 LncRNA HOTAIR 表达水平与病人预后的关系, *P* < 0.05 为差异有统计学意义。
- 1.4 统计学方法 采用 SPSS19.0 统计分析软件, 计量资料采用 $\bar{x} \pm s$  表示,t 检验比较癌组织及癌旁 组织 HOTAIR mRNA 表达水平的差异(检验水准  $\alpha = 0.05$ ); $\chi^2$ 检验比较计数资料之间的差异(检验 水准  $\alpha = 0.05$ ), Kaplan Meier 生存分析法分析 HOTAIR的表达与病人预后的关系。

#### 2 结果

# **2.1** RT-qPCR 检测 LncRNA HOTAIR 在胃癌组织中的表达水平 在 45 例胃癌病例中,通过 RT-qPCR 检测癌及癌旁组织中 HOTAAIR 表达水平,结果显示癌组织中的 HOTAIR 表达为(4. 26 ± 1. 47)高于癌旁组织表达(0. 47 ± 0. 35),t 检验比较两者差异有统计学意义(P < 0. 001)(图 1)。

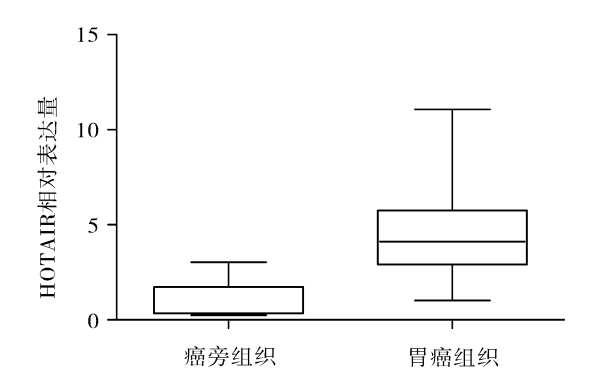


图 1 HOTAIR 在胃癌及对应正常癌旁组织中的 表达水平

- 2.2 胃组织中 HOTAIR RNA 表达量与临床病理 关系 根据胃癌组织中的 HOTAIR RNA 的平均表 达量确定胃癌组织中 HOTAIR RNA 的高低表达情况。采用  $\chi^2$ 检验分析 HOTAIR RNA 表达情况与胃癌临床病理指标相关性。见表 3。
- 2.3 胃组织中 HOTAIR RNA 表达量与病人预后相关性分析 根据 Kaplan Meier-plotter 胃癌数据库中的 HOTAIR 表达水平及病人随访资料,根据 631 例病人 HOTAIR 表达水平分为高表达与低表达组。通过绘制生存分析曲线,发现 HOTAIR 高表达组病人与低表达组病人相比预后较差,差异有统计学意

义(P < 0.05),见图 $2_{\circ}$ 

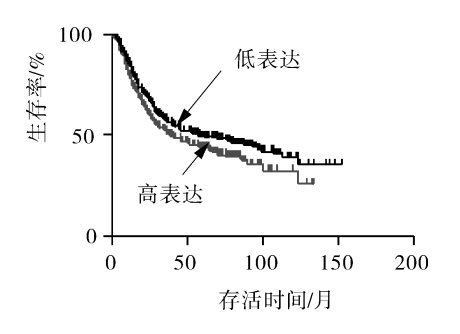


图 2 胃癌病人 HOTAIR 高低表达的生存曲线

#### 3 讨论

胃癌是世界上最常见的恶性肿瘤之一,在与癌 症相关的死亡中胃癌占全球第二。胃癌起源于胃 表面上皮细胞。胃的每个部位都有可能发生肿瘤, 但胃窦和幽门恶性肿瘤的发病率最高[12]。胃癌的 发生发展是一个复杂的过程,涉及多个因素的逐步 发展其中也包含编码和非编码基因。因此,发掘胃 癌的预测指标及治疗靶点是提高胃癌防治疗效的 关键[13]。在人类基因组中,仅有不到 2%的 mRNA 能够翻译成为蛋白质。有些基因虽然不参与蛋白 质编码,但仍可以被转录成非编码 RNA<sup>[14]</sup>。研究 发现 lncRNA 与人类多种疾病的发生,特别是与恶 性肿瘤的发病发展密切相关[15]。在数量庞大的 LncRNA 家族中, HOTAIR 是一种典型的在肿瘤中 起癌基因作用的 LncRNA。HOTAIR 由 HOXC 基因 簇的反义链所编码,长度为2158nt,由6个外显子所 组成。其位于 12q13. 13 染色体的 HoxC11 与 HoxC12 基因间<sup>[16-18]</sup>。研究证实,HOTAIR 在多种肿 瘤中呈现异常高表达并且参与了肿瘤的发生发展

表 3 癌组织中 HOTAIR 表达量与临床病理参数的关系(n=45)

临床病理参数	例数 -	HOTAIR 表边	HOTAIR 表达情况/例(%)		n Hr		
		低表达	高表达	$-\chi^2$ 值	P值		
年龄				0.939	0.539		
<65 岁	21	12(57.1)	9(42.9)				
≥65 岁	24	8(33.3)	16(66.7)				
性别				1.981	0.205		
男	35	19(54.3)	16(45.7)				
女	10	6(60.0)	4(40.0)				
肿瘤大小				18.425	< 0.01		
<3 cm	29	21(72.4)	8(27.6)				
≥3 cm	16	6(37.5)	10(62.5)				
分化程度				12.213	< 0.05		
高或中分化	28	18(64.3)	10(35.7)				
低分化	17	5(29.4)	12(70.6)				

过程。Geng 等对 63 例肝癌组织样本检测 HOTAIR 的表达水平后发现,其在癌组织中的表达水平明显高于癌旁组织,对随访资料统计后发现HOTAIR 的表达与术后复发以及淋巴结转移相关<sup>[19]</sup>。Cai 等对 748 例病人资料进行生存曲线分析后发现,HOTAIR 表达水平较高的病人较较低的病人预后差<sup>[20]</sup>。有学者通过对 HOTAIR 在肿瘤细胞 EMT 过程中所起的作用研究后发现,HOTAIR 参与了肿瘤细胞干性的维持<sup>[21]</sup>。Li 等研究发现通过敲低 HOTAIR 的表达能够导致下游数百种基因表达水平的上升,进一步研究发现其能够通过与 PRC2 结合从而导致染色质重塑过程,HOTAIR 的高表达能够促进乳腺癌的发生发展<sup>[9]</sup>。

本研究对 HOTAIR 在胃癌组织中的表达水平进行了研究,结果表明 HOTAIR 的表达水平在癌组织相较癌旁组织中显著上升,这提示了我们HOTAIR可能在胃癌中作为一个癌基因在起作用。结合临床病理相关数据进行统计分析,发现胃癌组织中 HOTAIR 的表达量与胃癌肿瘤大小、分化程度密切相关,而与病人年龄、性别没有相关性。据此我们推测 HOTAIR 可能与胃癌的发生进展存在相关性。随后利用 Kaplan Meier-plotter 胃癌数据库分析了 HOTAIR 的表达水平与病人预后的相关性,结果显示 HOTAIR 表达水平与病人的预后呈负相关关系。以上结果提示我们HOTAIR的表达水平上升促进了胃癌的发生、发展与侵袭转移过程,其可以作为潜在的胃癌诊断分子标志物与治疗靶点,极具应用价值。

#### 参考文献

- [1] 李晨,范尧夫,刘皓,等. 长链非编码 RNA HOTAIR 对胃癌迁移和侵袭能力的影响[J]. 齐齐哈尔医学院学报,2015,36 (14):2032-2034.
- [2] WU Y, ZHANG L, WANG Y, et al. Long noncoding RNA HOTAIR involvement in cancer [J]. Tumor Biology, 2014, 35 (10): 9531-9538. DOI:10.1007/s13277 -014 -2523 -7.
- [3] 杨峰,易凡,曹慧青,等. 长链非编码 RNA 研究进展[J]. 遗传, 2014,36(5);456-468. DOI;10.3724/SPJ. 1005. 2014. 0456.
- [4] HAJJARI M, SALAVATY A. HOTAIR; an oncogenic long non-coding RNA in different cancers [J]. Cancer biology & medicine, 2015, 12(1);1-9. DOI:10.7497/j. issn. 2095-3941. 2015. 0006.
- [5] LI PF, CHEN SC, XIA T, et al. Non-coding RNAs and gastric cancer
   [J]. World J Gastroenterol, 2014, 20 (18): 5411-5419. DOI: 10.
   3748/wjg. v20. i18. 5411.
- [6] LOEWEN G, JAYAWICKRAMARAJAH J, ZHUO Y, et al. Functions of lncRNA HOTAIR in lung cancer [J]. J Hematol Oncol, 2014,7(1):90. DOI:10.1186/s13045-014-0090-4.
- [7] ONO H, MOTOI N, NAGANO H, et al. Long noncoding RNA HO-TAIR is relevant to cellular proliferation, invasiveness, and clinical

- relapse in small-cell lung cancer [J]. Cancer medicine, 2014, 3 (3):632-642. DOI:10.1002/cam4.220.
- [8] WANG R,SHI Y,CHEN L,et al. The ratio of FoxA1 to FoxA2 in lung adenocarcinoma is regulated by LncRNA HOTAIR and chromatin remodeling factor LSH [J]. Scientific reports, 2015, 5: 17826. DOI:10.1038/srep17826.
- [9] LI L, LIU B, WAPINSKI OL, et al. Targeted disruption of Hotair leads to homeotic transformation and gene derepression [J]. Cell reports, 2013, 5(1);3-12. DOI;10.1016/j. celrep. 2013. 09. 003.
- [10] CARRION K, DYO J, PATEL V, et al. The long non-coding HOTAIR is modulated by cyclic stretch and WNT/β-CATENIN in human aortic valve cells and is a novel repressor of calcification genes [J]. PloS one, 2014, 9(5); e96577. DOI:10. 1371/journal. pone. 0096577.
- [11] LI H, YU B, LI J, et al. Overexpression of lncRNA H19 enhances carcinogenesis and metastasis of gastric cancer [J]. Oncotarget, 2014,5(8);2318-2329. DOI:10.18632/oncotarget.1913.
- [12] 夏李明,曾光,陈国忠,等. 七方胃痛颗粒对胃癌前病变 TFFI 基因 DNA 甲基化影响[J]. 现代中西医结合杂志,2014,23(21): 2289-2291. DOI;10. 3969/j. issn. 1008 8849. 2014. 21. 003.
- [13] MIN L, RUAN Y, SHEN Z, et al. Overexpression of Ras-GTPase-activating protein SH3 domain-binding protein 1 correlates with poor prognosis in gastric cancer patients [J]. Histopathology, 2015, 67 (5):677-688. DOI:10.1111/his.12695.
- [14] 朱灵,李善高. 长链非编码 RNA 在胃肠道疾病中的研究进展 [J]. 胃肠病学和肝病学杂志,2015,24(3);245-248. DOI:10. 3969/j. issn. 1006 5709. 2015. 03. 002.
- [15] 郭旗,梁启新,徐余兴,等. 长链非编码 RNA HOTAIR 在肝细胞 癌中表达研究[J]. 肝胆外科杂志,2015,23(4):307-310.
- [16] GUPTA RA, SHAH N, WANG KC, et al. Long non-coding RNA HOTAIR reprograms chromatin state to promote cancer metastasis [J]. Nature, 2010, 464 (7291): 1071-1076. DOI: 10. 1038/nature08975.
- [17] YANG Z,ZHOU L, WU LM, et al. Overexpression of long non-coding RNA HOTAIR predicts tumor recurrence in hepatocellular carcinoma patients following liver transplantation [J]. Annals of surgical oncology, 2011, 18 (5):1243-1250. DOI:10.1245/s10434 011-1581-y.
- [18] KOGO R, SHIMAMURA T, MIMORI K, et al. Long noncoding RNA HOTAIR regulates polycomb-dependent chromatin modification and is associated with poor prognosis in colorectal cancers [J]. Cancer research, 2011, 71 (20):6320-6326. DOI:10.1158/ 0008-5472. CAN-11-1021.
- [19] GENG YJ, XIE SL, LI Q, et al. Large intervening non-coding RNA HOTAIR is associated with hepatocellular carcinoma progression [J]. Journal of International Medical Research, 2011, 39 (6): 2119-2128. DOI:10.1177/147323001103900608.
- [20] CAI B, WU Z, LIAO K, et al. Long noncoding RNA HOTAIR can serve as a common molecular marker for lymph node metastasis; a meta-analysis[J]. Tumor Biology, 2014, 35(9):8445-8450. DOI: 10.1007/s13277-014-2311-4.
- [21] PÁDUA ALVES C, FPMSECA AS, MUYS BR, et al. Brief Report:
  The lincRNA Hotair Is Required for Epithelial-to-Mesenchymal
  Transition and Stemness Maintenance of Cancer Cell Lines [J].
  Stem cells, 2013, 31(12);2827-2832. DOI:10.1002/stem.1547.

(收稿日期:2016-06-21,修回日期:2016-11-24)